

Suche nach dem Zerfall $B^0 \rightarrow \eta\phi$
am *BABAR*-Experiment

Stephan Otto

Institut für Kern- und Teilchenphysik
Technische Universität Dresden

Öffentliche Verteidigung
28. April 2005

Das Standardmodell

Der Zerfall $B^0 \rightarrow \eta\phi$

Einordnung

Theoretische Beschreibung

Experimentelle Bedeutung

Das *BABAR*-Experiment

Datenanalyse

Datensätze

Ereignis-Rekonstruktion

Ereignis-Variablen

Abzählmethode

Maximum-Likelihood-Methode

Systematische Unsicherheiten

Ergebnisse

Zusammenfassung

Das Standardmodell

Der Zerfall $B^0 \rightarrow \eta\phi$

Einordnung

Theoretische Beschreibung

Experimentelle Bedeutung

Das *BABAR*-Experiment

Datenanalyse

Datensätze

Ereignis-Rekonstruktion

Ereignis-Variablen

Abzählmethode

Maximum-Likelihood-Methode

Systematische Unsicherheiten

Ergebnisse

Zusammenfassung

Das Standardmodell

- ▶ Leptonen („leichte“, freie Elementarteilchen)
 - ▶ e^- , μ^- , τ^- , ν_e , ν_μ , ν_τ
- ▶ Quarks (gebundene Elementarteilchen)
 - ▶ u , d , s , c , b , t
- ▶ Mesonen („mittelschwere“ Teilchen): Quark und Antiquark ($q\bar{q}$)
 - ▶ π , K , η , ϕ , D , B , ...
- ▶ Baryonen („schwere“ Teilchen): 3 Quarks (qqq)
 - ▶ p , n , Λ , Σ , ...
- ▶ elektroschwache Wechselwirkung: Photonen, Z - und W -Bosonen
 - ▶ $q \rightarrow q + \gamma, Z^0$
 - ▶ $u \rightarrow d' + W^+$
 - ▶ $d' = V_{ud}d + V_{us}s + V_{ub}b$
 - ▶ V_{ub} komplex $\Rightarrow CP$ -Verletzung
- ▶ starke Wechselwirkung: Gluonen
 - ▶ $q \rightarrow q + g$
- ▶ genaue Berechnung von Zerfallsraten und CP -Verletzung
- ▶ hypothetische „Higgs“-Teilchen, mehr als 20 Parameter, ...

Der Zerfall $B^0 \rightarrow \eta\phi$

Das Standardmodell

Der Zerfall $B^0 \rightarrow \eta\phi$

Einordnung

Theoretische Beschreibung

Experimentelle Bedeutung

Das *BABAR*-Experiment

Datenanalyse

Datensätze

Ereignis-Rekonstruktion

Ereignis-Variablen

Abzählmethode

Maximum-Likelihood-Methode

Systematische Unsicherheiten

Ergebnisse

Zusammenfassung

Einordnung

Quarkzustände

$$|B^0\rangle = |d\bar{b}\rangle$$

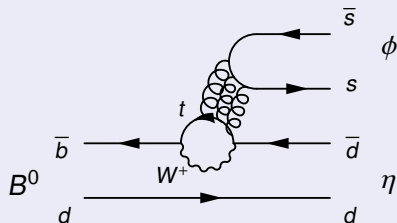
$$|\bar{B}^0\rangle = |b\bar{d}\rangle$$

$$|\eta\rangle = \frac{1}{\sqrt{6}} (|u\bar{u}\rangle + |d\bar{d}\rangle - 2|s\bar{s}\rangle)$$

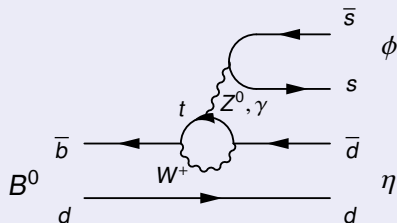
$$|\phi\rangle = |s\bar{s}\rangle$$

- ▶ reiner „Pinguin“-Zerfall
- ▶ b als „Valenz“-Quark
- ▶ d als „Zuschauer“-Quark
- ▶ „Faktorisierung“ in η und ϕ

gluonischer Pinguin



elektroschwacher Pinguin



Theoretische Beschreibung

- ▶ Verzweigungsverhältnis des Zerfalls:

$$\mathcal{B}(B^0 \rightarrow \eta\phi) = \frac{\Gamma(B^0 \rightarrow \eta\phi)}{\Gamma(B^0)}$$

- ▶ Partialbreite des Zerfalls:

$$\Gamma(B^0 \rightarrow \eta\phi) = \int |\langle \eta\phi | \mathcal{H}_{\text{eff}} | B^0 \rangle|^2 d\Phi$$

- ▶ effektiver Hamilton-Operator:

$$\mathcal{H}_{\text{eff}} = \frac{G_F}{\sqrt{2}} V_{tb}^* V_{td} \sum_i C_i O_i$$

- ▶ CKM-Matrix-Elemente V_{tb} , V_{td} : Quark-Mischung
- ▶ Wilson-Koeffizienten C_i : perturbative (kurzreichweitige) QCD
- ▶ Pinguin-Operatoren O_i : nichtperturbative (langreichweitige) QCD

Experimentelle Bedeutung

- ▶ Pinguin-Übergänge: mögliche „neue Physik“ in der Quark-Schleife
 - ▶ neue Familien, neue Higgs-Felder, Supersymmetrie, ...
- ▶ Pinguin-Beiträge: mögliche „direkte“ CP -Verletzung
 - ▶ Überlagerung von Pinguin- und „Baum“-Übergängen
- ▶ Pinguin-Zerfälle: saubere Untersuchung von Pinguin-Übergängen
 - ▶ keine Unterdrückung durch Baum-Übergänge

Experimentelle Bedeutung

- ▶ Pinguin-Übergänge: mögliche „neue Physik“ in der Quark-Schleife
 - ▶ neue Familien, neue Higgs-Felder, Supersymmetrie, ...
- ▶ Pinguin-Beiträge: mögliche „direkte“ CP -Verletzung
 - ▶ Überlagerung von Pinguin- und „Baum“-Übergängen
- ▶ Pinguin-Zerfälle: saubere Untersuchung von Pinguin-Übergängen
 - ▶ keine Unterdrückung durch Baum-Übergänge

Vorhersagen

	$\mathcal{B}(B^0 \rightarrow \eta\phi)$		
	$N_c = 2$	$N_c = 3$	$N_c = \infty$
Du, Xing (1993)		1.5×10^{-11}	1.0×10^{-7}
Deandrea <i>et al.</i> (1994)	1.30×10^{-8}	8.55×10^{-12}	4.8×10^{-8}
Du, Guo (1997)	6.11×10^{-9}		7.73×10^{-8}

Experimentelle Bedeutung

- ▶ Pinguin-Übergänge: mögliche „neue Physik“ in der Quark-Schleife
 - ▶ neue Familien, neue Higgs-Felder, Supersymmetrie, ...
- ▶ Pinguin-Beiträge: mögliche „direkte“ CP -Verletzung
 - ▶ Überlagerung von Pinguin- und „Baum“-Übergängen
- ▶ Pinguin-Zerfälle: saubere Untersuchung von Pinguin-Übergängen
 - ▶ keine Unterdrückung durch Baum-Übergänge

Unsicherheiten

- ▶ Entwicklungsparameter N_c
- ▶ Skalenabhängigkeit
- ▶ Quark-Massen

Vorhersagen

	$\mathcal{B}(B^0 \rightarrow \eta\phi)$		
	$N_c = 2$	$N_c = 3$	$N_c = \infty$
Du, Xing (1993)		1.5×10^{-11}	1.0×10^{-7}
Deandrea <i>et al.</i> (1994)	1.30×10^{-8}	8.55×10^{-12}	4.8×10^{-8}
Du, Guo (1997)	6.11×10^{-9}		7.73×10^{-8}

Experimentelle Bedeutung

- ▶ Pinguin-Übergänge: mögliche „neue Physik“ in der Quark-Schleife
 - ▶ neue Familien, neue Higgs-Felder, Supersymmetrie, ...
- ▶ Pinguin-Beiträge: mögliche „direkte“ CP -Verletzung
 - ▶ Überlagerung von Pinguin- und „Baum“-Übergängen
- ▶ Pinguin-Zerfälle: saubere Untersuchung von Pinguin-Übergängen
 - ▶ keine Unterdrückung durch Baum-Übergänge

Unsicherheiten

- ▶ Entwicklungsparameter N_c
- ▶ Skalenabhängigkeit
- ▶ Quark-Massen

Messung (CLEO)

$$\mathcal{B}(B^0 \rightarrow \eta\phi) < 9 \times 10^{-6} \text{ (90\%)}$$

Vorhersagen

	$\mathcal{B}(B^0 \rightarrow \eta\phi)$		
	$N_c = 2$	$N_c = 3$	$N_c = \infty$
Du, Xing (1993)		1.5×10^{-11}	1.0×10^{-7}
Deandrea <i>et al.</i> (1994)	1.30×10^{-8}	8.55×10^{-12}	4.8×10^{-8}
Du, Guo (1997)	6.11×10^{-9}		7.73×10^{-8}

Das *BABAR*-Experiment

Das Standardmodell

Der Zerfall $B^0 \rightarrow \eta\phi$

Einordnung

Theoretische Beschreibung

Experimentelle Bedeutung

Das *BABAR*-Experiment

Datenanalyse

Datensätze

Ereignis-Rekonstruktion

Ereignis-Variablen

Abzählmethode

Maximum-Likelihood-Methode

Systematische Unsicherheiten

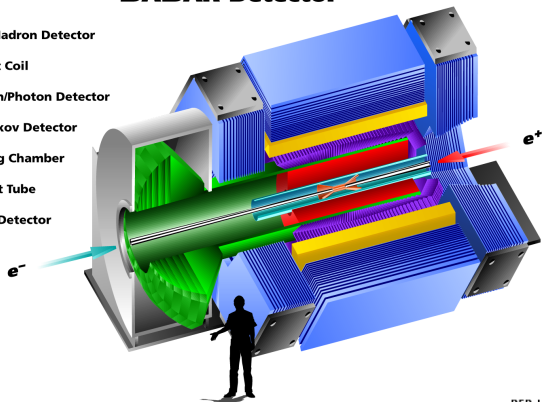
Ergebnisse

Zusammenfassung

Das BABAR-Experiment

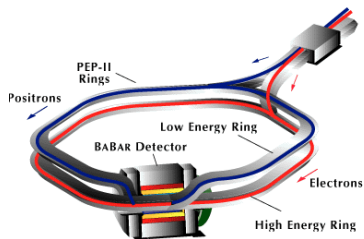
BABAR Detector

- Muon/Hadron Detector
- Magnet Coil
- Electron/Photon Detector
- Cherenkov Detector
- Tracking Chamber
- Support Tube
- Vertex Detector



- ▶ $E_{e^-} = 9 \text{ GeV}$
- ▶ $E_{e^+} = 3.1 \text{ GeV}$
- ▶ $E_{\text{CMS}} = 10.6 \text{ GeV}$
- ▶ $\beta\gamma = 0.56$
- ▶ $L_{\text{goal}} = 3 \text{ nb}^{-1} \text{ s}^{-1}$
- ▶ $L_{\text{max}} = 9 \text{ nb}^{-1} \text{ s}^{-1}$

$$e^+e^- \rightarrow \gamma(4S) \rightarrow B^0\bar{B}^0$$



Das Standardmodell

Der Zerfall $B^0 \rightarrow \eta\phi$

Einordnung

Theoretische Beschreibung

Experimentelle Bedeutung

Das *BABAR*-Experiment

Datenanalyse

Datensätze

Ereignis-Rekonstruktion

Ereignis-Variablen

Abzählmethode

Maximum-Likelihood-Methode

Systematische Unsicherheiten

Ergebnisse

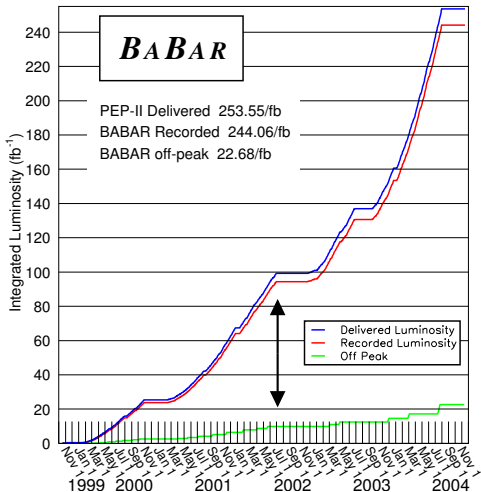
Zusammenfassung

Daten von 1999 bis 2002

- 81.6 fb^{-1} auf Resonanz
- ⇒ $86 \times 10^6 B\bar{B}$ -Paare
- ⇒ $277 \times 10^6 q\bar{q}$ -Paare
- 9.6 fb^{-1} im Kontinuum
- ⇒ $33 \times 10^6 q\bar{q}$ -Paare

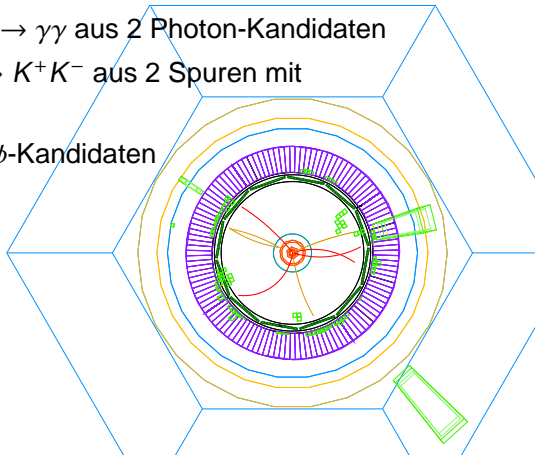
Monte-Carlo-Simulation

- $109 \times 10^6 B\bar{B}$ -Ereignisse
- 76×10^3 „Signal“-Ereignisse



Ereignis-Rekonstruktion

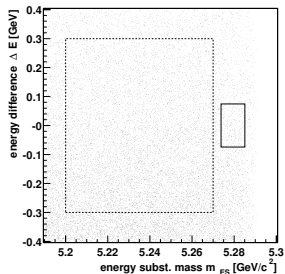
- ▶ Spuren in Vertex-Detektor, Driftkammer und Čerenkov-Detektor
- ▶ Photon-Kandidaten aus Energie-Clustern im Kalorimeter
- ▶ η -Kandidaten im Kanal $\eta \rightarrow \gamma\gamma$ aus 2 Photon-Kandidaten
- ▶ η -Kandidaten im Kanal $\eta \rightarrow \pi^+\pi^-\pi^0$ aus 2 Spuren und π^0 -Kandidaten
- ▶ π^0 -Kandidaten im Kanal $\pi^0 \rightarrow \gamma\gamma$ aus 2 Photon-Kandidaten
- ▶ ϕ -Kandidaten im Kanal $\phi \rightarrow K^+K^-$ aus 2 Spuren mit Kaon-Identifizierung
- ▶ B^0 -Kandidaten aus η - und ϕ -Kandidaten



Ereignis-Variablen

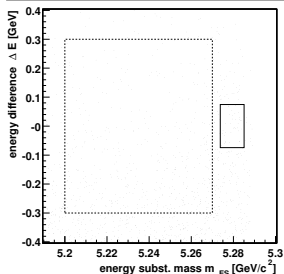
Kontinuum

Energy Difference vs. Energy Subst. Mass (Offpeak Data)



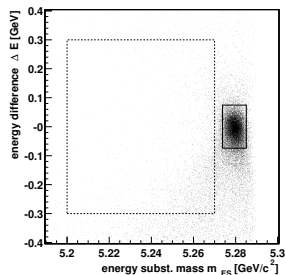
$B\bar{B}$ -MC

Energy Difference vs. Energy Subst. Mass ($B\bar{B}$ MC)



Signal-MC

Energy Difference vs. Energy Subst. Mass (Signal MC)



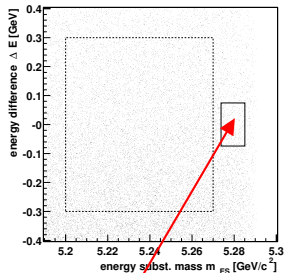
$$(\uparrow) \quad \Delta E = E_B^* - \frac{1}{2}E_0^*$$

$$(\rightarrow) \quad m_{ES} = \sqrt{\left(\frac{1}{2}E_0^*\right)^2 - p_B^{*2}}$$

Ereignis-Variablen

Kontinuum

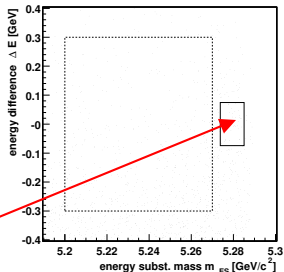
Energy Difference vs. Energy Subst. Mass (Offpeak Data)



Untergrund

$B\bar{B}$ -MC

Energy Difference vs. Energy Subst. Mass ($B\bar{B}$ MC)

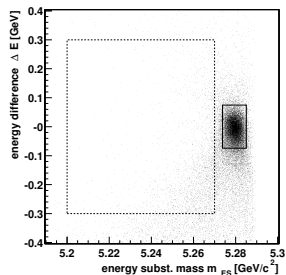


$$(\uparrow) \quad \Delta E = E_B^* - \frac{1}{2}E_0^*$$

$$(\rightarrow) \quad m_{ES} = \sqrt{\left(\frac{1}{2}E_0^*\right)^2 - p_B^{*2}}$$

Signal-MC

Energy Difference vs. Energy Subst. Mass (Signal MC)



Fisher-Diskriminante

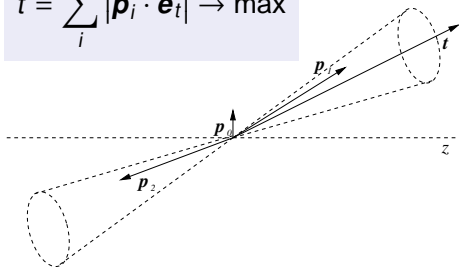
$$\mathcal{F} = \sum_{i=1}^9 c_i \sum_j |\mathbf{p}_{ij}| + c_{10} |\cos \angle(\mathbf{t}, \mathbf{z})| + c_{11} |\cos \angle(\mathbf{p}_0, \mathbf{z})|$$

Fisher-Diskriminante

$$\mathcal{F} = \sum_{i=1}^9 c_i \sum_j |\mathbf{p}_{ij}| + c_{10} |\cos \angle(\mathbf{t}, \mathbf{z})| + c_{11} |\cos \angle(\mathbf{p}_0, \mathbf{z})|$$

„Thrust“

$$t = \sum_i |\mathbf{p}_i \cdot \mathbf{e}_t| \rightarrow \max$$



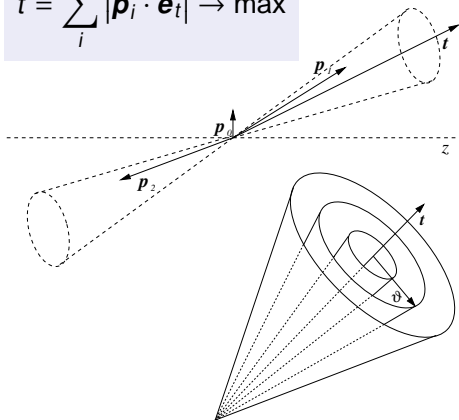
Ereignis-Variablen

Fisher-Diskriminante

$$\mathcal{F} = \sum_{i=1}^9 c_i \sum_j |\mathbf{p}_{ij}| + c_{10} |\cos \angle(\mathbf{t}, \mathbf{z})| + c_{11} |\cos \angle(\mathbf{p}_0, \mathbf{z})|$$

„Thrust“

$$t = \sum_i |\mathbf{p}_i \cdot \mathbf{e}_t| \rightarrow \max$$



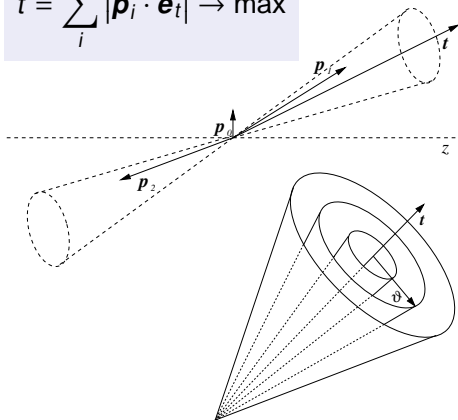
Ereignis-Variablen

Fisher-Diskriminante

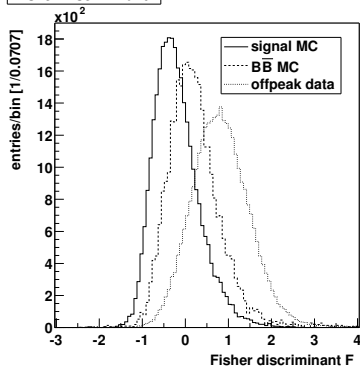
$$\mathcal{F} = \sum_{i=1}^9 c_i \sum_j |\mathbf{p}_{ij}| + c_{10} |\cos \angle(\mathbf{t}, \mathbf{z})| + c_{11} |\cos \angle(\mathbf{p}_0, \mathbf{z})|$$

„Thrust“

$$t = \sum_i |\mathbf{p}_i \cdot \mathbf{e}_t| \rightarrow \max$$

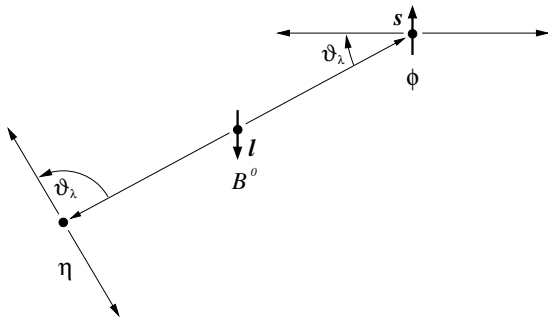


Fisher Discriminant

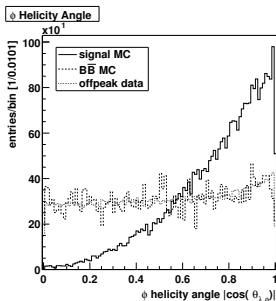


„Helizität“

$$\lambda = \frac{\mathbf{s} \cdot \mathbf{p}}{|\mathbf{p}|}$$

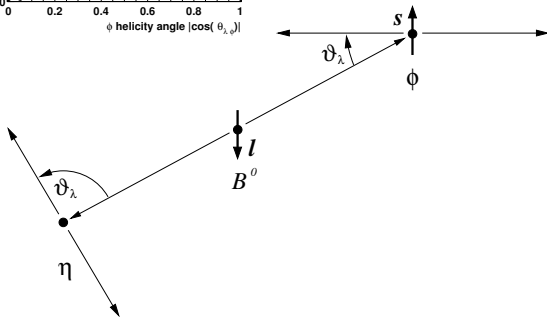


Ereignis-Variablen

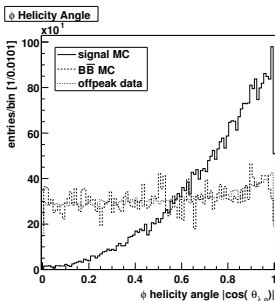


„Helizität“

$$\lambda = \frac{\mathbf{s} \cdot \mathbf{p}}{|\mathbf{p}|}$$

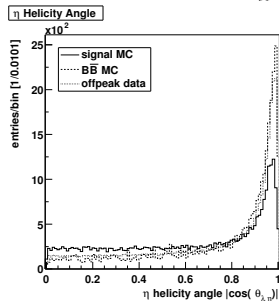
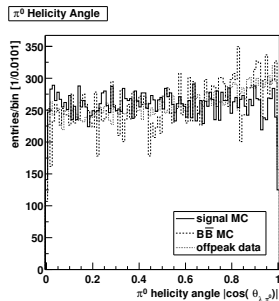
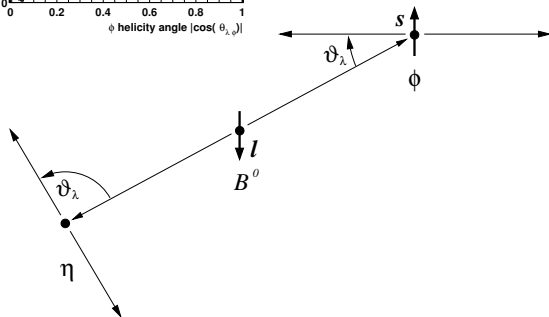


Ereignis-Variablen



„Helizität“

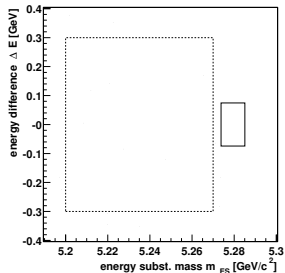
$$\lambda = \frac{\mathbf{s} \cdot \mathbf{p}}{|\mathbf{p}|}$$



Ereignis-Variablen

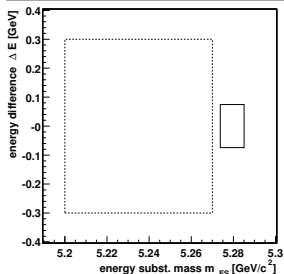
Kontinuum

Energy Difference vs. Energy Subst. Mass (Offpeak Data)



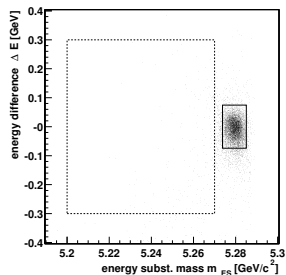
$B\bar{B}$ -MC

Energy Difference vs. Energy Subst. Mass ($B\bar{B}$ MC)



Signal-MC

Energy Difference vs. Energy Subst. Mass (Signal MC)



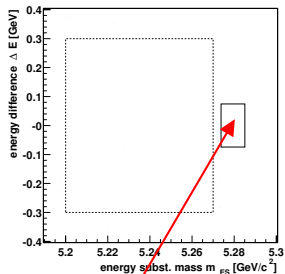
$$(\uparrow) \quad \Delta E = E_B^* - \frac{1}{2}E_0^*$$

$$(\rightarrow) \quad m_{ES} = \sqrt{\left(\frac{1}{2}E_0^*\right)^2 - p_B^{*2}}$$

Ereignis-Variablen

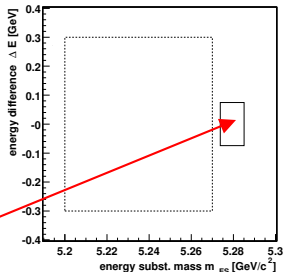
Kontinuum

Energy Difference vs. Energy Subst. Mass (Offpeak Data)



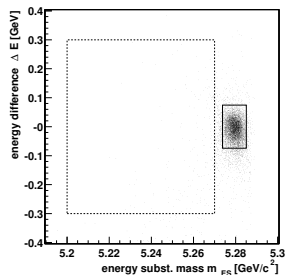
$B\bar{B}$ -MC

Energy Difference vs. Energy Subst. Mass ($B\bar{B}$ MC)



Signal-MC

Energy Difference vs. Energy Subst. Mass (Signal MC)

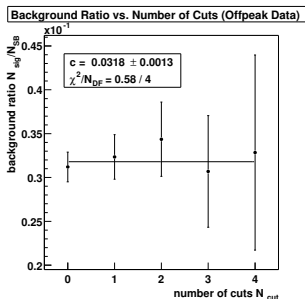


Unsicherheit

$$(\uparrow) \quad \Delta E = E_B^* - \frac{1}{2} E_0^*$$

$$(\rightarrow) \quad m_{ES} = \sqrt{\left(\frac{1}{2} E_0^*\right)^2 - p_B^{*2}}$$

Abzählmethode

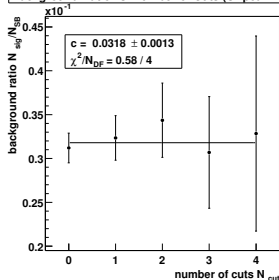


1. Einträge in der Signalbox: N_{sig}
2. Einträge im Seitenband: N_{SB}
3. Untergrundverhältnis aus Kontinuum:

$$R = \frac{N_{\text{sig}}}{N_{\text{SB}}}$$

Abzählmethode

Background Ratio vs. Number of Cuts (Offpeak Data)

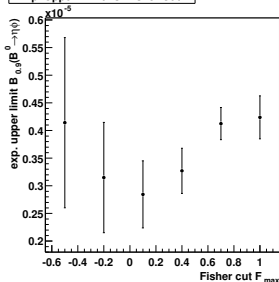


1. Einträge in der Signalbox: N_{sig}
2. Einträge im Seitenband: N_{SB}
3. Untergrundverhältnis aus Kontinuum:

$$R = \frac{N_{sig}}{N_{SB}}$$

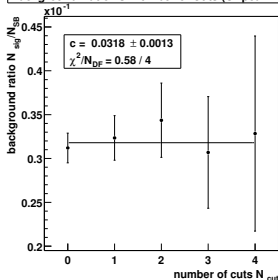
4. Optimierung der Schnitte

Exp. Upper Limit vs. Fisher Cut



Abzählmethode

Background Ratio vs. Number of Cuts (Offpeak Data)



1. Einträge in der Signalbox: N_{sig}
2. Einträge im Seitenband: N_{SB}
3. Untergrundverhältnis aus Kontinuum:

$$R = \frac{N_{sig}}{N_{SB}}$$

4. Optimierung der Schnitte
5. Untergrundabzug:

$$S = N_{sig} - R N_{SB}$$

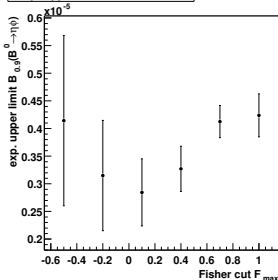
6. Selektionseffizienz aus Signal-MC:

$$\varepsilon = \frac{N_{sig}}{N_{B^0}}$$

7. Verzweigungsverhältnis:

$$\mathcal{B}(B^0 \rightarrow \eta\phi) = \frac{S}{\varepsilon \mathcal{B}(\eta) \mathcal{B}(\phi) N_{B^0}}$$

Exp. Upper Limit vs. Fisher Cut



Maximum-Likelihood-Methode

- ▶ N Ereignisse $i = 1 \dots N$
- ▶ 2 Kategorien j : Signal ($j = 1$), Untergrund ($j = 2$)
- ▶ 6 Variablen x_k ($k = 1 \dots 6$) mit Werten x_{ik} und Dichten f_{jk}
- ▶ 2 Parameter: Signal-Erwartung (S), Untergrund-Erwartung (B)

globale Likelihood-Funktion

$$\mathcal{L} = \mathcal{P}(S + B) \prod_{i=1}^N (S \mathcal{P}_1(\mathbf{x}_i) + B \mathcal{P}_2(\mathbf{x}_i))$$

Poisson-Dichte

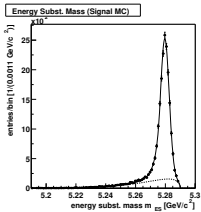
$$\mathcal{P}(n) = n^N e^{-n}$$

Variablen-Dichten

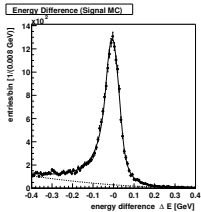
$$\mathcal{P}_j(\mathbf{x}_i) = \prod_{k=1}^6 f_{jk}(x_{ik})$$

Maximum-Likelihood-Methode

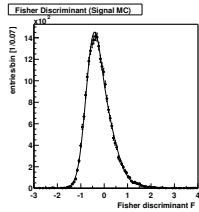
Signal



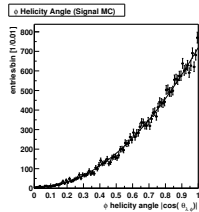
m_{ES}



ΔE

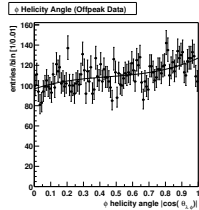
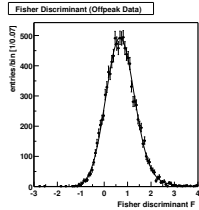
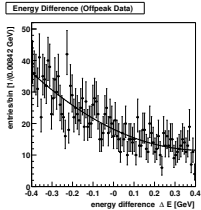
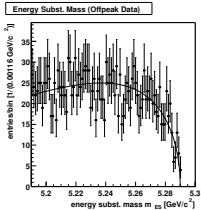


F



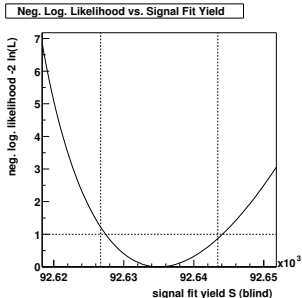
$|\cos(\vartheta_\lambda)|$

Untergrund

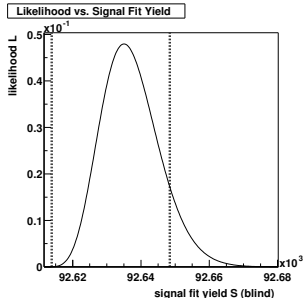


Maximum-Likelihood-Methode

neg. log. Likelihood



normierte Likelihood



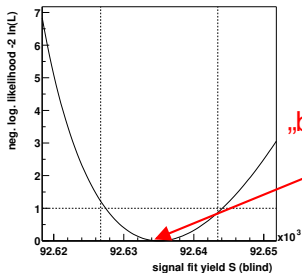
$$-2 \ln \mathcal{L} = \frac{(S - \bar{S})^2}{\sigma_S^2}$$

$$\int_{\delta_S}^{S_{0.9}} \mathcal{L} dS = 0.9$$

Maximum-Likelihood-Methode

neg. log. Likelihood

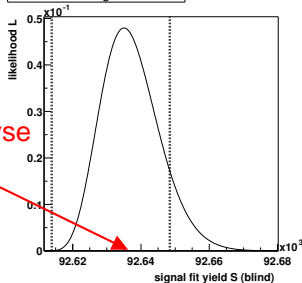
Neg. Log. Likelihood vs. Signal Fit Yield



„blinde“ Analyse

normierte Likelihood

Likelihood vs. Signal Fit Yield

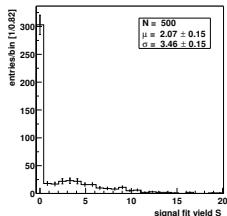


$$-2 \ln \mathcal{L} = \frac{(s - \bar{s})^2}{\sigma_s^2}$$

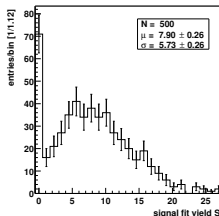
$$\int_{\delta_S}^{S_{0.9}} \mathcal{L} dS = 0.9$$

Maximum-Likelihood-Methode

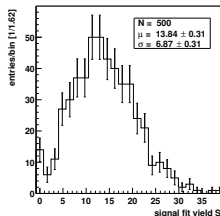
Signal Fit Yield (0 Signal Candidates)



Signal Fit Yield (5 Signal Candidates)



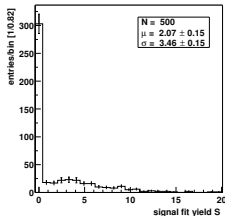
Signal Fit Yield (10 Signal Candidates)



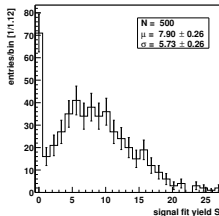
1. „Spielzeug“-Monte-Carlo-Simulationen mit N_{Sig} Signal-Ereignissen
2. Verteilung der Signal-Erwartung \bar{S}

Maximum-Likelihood-Methode

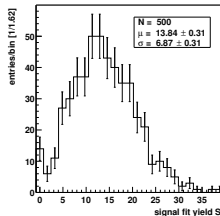
Signal Fit Yield (0 Signal Candidates)



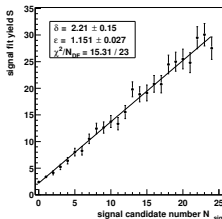
Signal Fit Yield (5 Signal Candidates)



Signal Fit Yield (10 Signal Candidates)



Signal Fit Yield vs. Signal Candidate Number

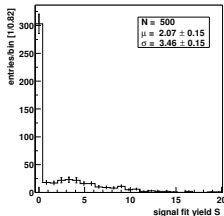


1. „Spielzeug“-Monte-Carlo-Simulationen mit N_{Sig} Signal-Ereignissen
2. Verteilung der Signal-Erwartung \bar{S}
3. Effizienz ε_S und Verschiebung δ_S :

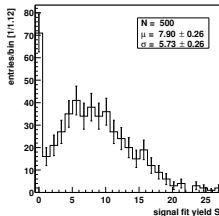
$$\bar{S} = \varepsilon_S N_{\text{Sig}} + \delta_S$$

Maximum-Likelihood-Methode

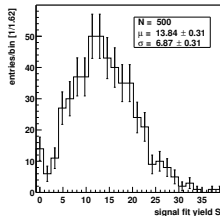
Signal Fit Yield (0 Signal Candidates)



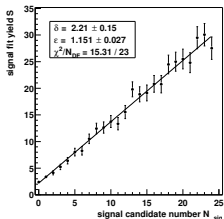
Signal Fit Yield (5 Signal Candidates)



Signal Fit Yield (10 Signal Candidates)



Signal Fit Yield vs. Signal Candidate Number



1. „Spielzeug“-Monte-Carlo-Simulationen mit N_{Sig} Signal-Ereignissen
2. Verteilung der Signal-Erwartung \bar{S}
3. Effizienz ε_S und Verschiebung δ_S :

$$\bar{S} = \varepsilon_S N_{\text{Sig}} + \delta_S$$
4. korrigierte Signal-Erwartung:

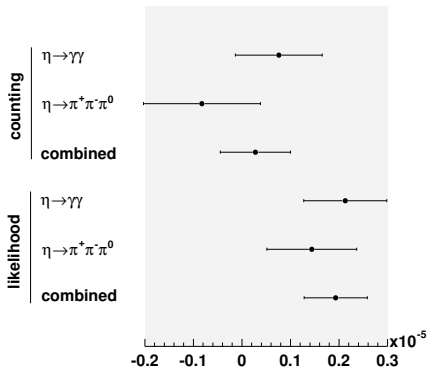
$$S' = \bar{S} - \delta_S$$

Systematische Unsicherheiten

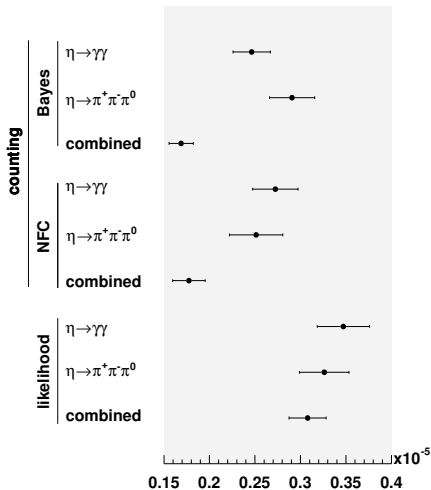
- ▶ statistische Unsicherheit der Selektionseffizienz
- ▶ statistische Unsicherheit des Untergrundverhältnisses
- ▶ Abweichung der Signalverteilung in Simulation und Daten
- ▶ Abweichung der Untergrundverteilung in Kontinuum- und Resonanzdaten
- ▶ Anteil von Signalereignissen im Resonanzdaten-Seitenband
- ▶ Anteil von $B\bar{B}$ -Untergrund-Ereignissen in Kontinuum-Untergrund-Erwartung
- ▶ Unsicherheit der Photon-Rekonstruktions-Effizienz
- ▶ Unsicherheit der Spur-Rekonstruktions-Effizienz
- ▶ Unsicherheit der Kaon-Identifizierungs-Effizienz
- ▶ Unsicherheit der Anzahl der $B\bar{B}$ -Paare
- ▶ Unsicherheit der Verzweigungsverhältnisse der η - und ϕ -Zerfälle

Ergebnisse

Branching Fraction $B(B^0 \rightarrow \eta\phi)$



Branching Fraction Upper Limit $B_{0.9}(B^0 \rightarrow \eta\phi)$



Zusammenfassung

Das Standardmodell

Der Zerfall $B^0 \rightarrow \eta\phi$

Einordnung

Theoretische Beschreibung

Experimentelle Bedeutung

Das *BABAR*-Experiment

Datenanalyse

Datensätze

Ereignis-Rekonstruktion

Ereignis-Variablen

Abzählmethode

Maximum-Likelihood-Methode

Systematische Unsicherheiten

Ergebnisse

Zusammenfassung

Zusammenfassung

- ▶ Suche nach dem Zerfall $B^0 \rightarrow \eta\phi$ in *BABAR*-Daten von 1999 bis 2002
- ▶ Kinematische Variablen (m_{ES} , ΔE , ...)
- ▶ Ereignisform-Variablen (Fisher-Diskriminante, Helizitätswinkel)
- ▶ Abzählmethode (Schnitte, Zählung, Untergrundabzug)
- ▶ Maximum-Likelihood-Methode (Variablen-Dichten, Anpassung)
- ▶ blinde Analyse zur Vermeidung von persönlicher Beeinflussung
- ▶ Bestimmung aller systematischen Unsicherheiten
- ▶ (noch) keine statistisch signifikante Beobachtung
- ▶ kleinere Unsicherheit des Likelihood-Ergebnisses

Zusammenfassung

- ▶ Suche nach dem Zerfall $B^0 \rightarrow \eta\phi$ in *BABAR*-Daten von 1999 bis 2002
- ▶ Kinematische Variablen (m_{ES} , ΔE , ...)
- ▶ Ereignisform-Variablen (Fisher-Diskriminante, Helizitätswinkel)
- ▶ Abzählmethode (Schnitte, Zählung, Untergrundabzug)
- ▶ Maximum-Likelihood-Methode (Variablen-Dichten, Anpassung)
- ▶ blinde Analyse zur Vermeidung von persönlicher Beeinflussung
- ▶ Bestimmung aller systematischen Unsicherheiten
- ▶ (noch) keine statistisch signifikante Beobachtung
- ▶ kleinere Unsicherheit des Likelihood-Ergebnisses

$$\mathcal{B}(B^0 \rightarrow \eta\phi) < 3.28 \times 10^{-6} \text{ (90\%)}$$

Zusammenfassung

- ▶ Suche nach dem Zerfall $B^0 \rightarrow \eta\phi$ in *BABAR*-Daten von 1999 bis 2002
- ▶ Kinematische Variablen (m_{ES} , ΔE , ...)
- ▶ Ereignisform-Variablen (Fisher-Diskriminante, Helizitätswinkel)
- ▶ Abzählmethode (Schnitte, Zählung, Untergrundabzug)
- ▶ Maximum-Likelihood-Methode (Variablen-Dichten, Anpassung)
- ▶ blinde Analyse zur Vermeidung von persönlicher Beeinflussung
- ▶ Bestimmung aller systematischen Unsicherheiten
- ▶ (noch) keine statistisch signifikante Beobachtung
- ▶ kleinere Unsicherheit des Likelihood-Ergebnisses

$$\mathcal{B}(B^0 \rightarrow \eta\phi) < 3.28 \times 10^{-6} \text{ (90\%)}$$

- ▶ konsistent mit theoretischen Vorhersagen
- ▶ 3-fache Genauigkeit der vorherigen Messung